

08-38-IG-FV-58-P-1

Mineral del grupo Sierrecilla. Granos idiomorfos -
(algunos corroidos) de pirita, con calcocoprita y -
blenda allotriomorfos adaptandose a sus formas.
350 aumentos. Nicoles paralelos. Inmersión en aceite.



08-38-IG-AS-109

Cantera en la carretera de Puebla de Guzmán a Paymogo. Tres coladas superpuestas de Material con-
glomerático volcánico (H_{T_2} A-A), con un nivel de
jaspes (J) en la parte superior y una colada rio-
lítica al techo (H_{V_2} 11-12 A-A).



08-38-IG-AS-110

Carretera de la Puebla de Guzmán a Paymogo. Pi
zarras arcillosas del Carbonífero, facies Culm

A-A

(H P_w), con disyunción prismática.
11-12



08-38-IG-AS-111

Disyunción columnar en lavas ácidas (H V₂^{A-A})
11-12
algo brechificadas en la proximidades del Ce--
rro Gibraltar.



08-38-IG-AS-112

Corta de la mina Nuestra Señora del Carmen. De
Sur a Norte, tobas ácidas (H Tb_2), azufrones,
11-12

cineritas ácidas (H Tb_2) y pizarras del volcánico-sedimentario (H). Las capas buzan al
11-12
Norte.



08-38-IG-AS-113

A-A
Formación Cerro Méndez (H P) en el río Chan
11-12

za. Pueden observarse pliegues de la primera fa
se, con fracturación según el plano axial (fal
so crucero).



08-38-IG-AS-114

A-A
Lavas intermedias (H V₁). Proximidades del Cabe
zo del Acebuche. Pueden observarse bolos de color
verdoso muy análogos a los de las lavas básicas.
11-12

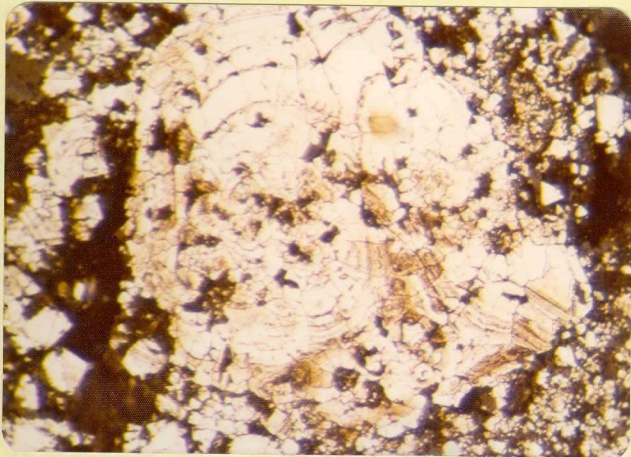


08-38-IG-AS-116

Pizarras en el Carbonífero Inferior (H_{Pw}), en
la carretera de Puebla a Paymogo. Pliegues volca-
dos con vergencia Sur de la primera fase.

A-A

11-12



08-38-IG-AS-120

Mineral del grupo Duquesa-San Fernando.

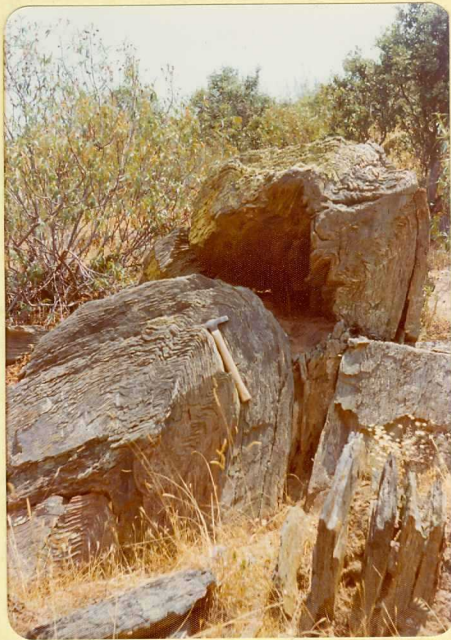
Muestra atacada con H NO₃. Piritita con zonado - de crecimiento. Restos de estructuras coloidales.

500 aumentos. Nicoles paralelos. Inmersión en



08-38-IG-AS-125

Detalle de la colada más inferior. Se puede observar una gradación en el tamaño de los clastos.



08-38-IG-AS-126

Formación Cerro Méndez (H_p)^{A-A}, en el río Chanza.
11-12
Pliegues volcados con vergencia Sur.



08-38-IG-AS-127

A-A

Pizarras en el Carbonífero Inferior (H Pw), en
11-12
la carretera de Puebla a Paymogo. Pliegues volca-
dos con vergencia Sur, de la primera fase, afecta-
dos por una falla. La charnela de un pliegue ha -
sido plegada por la segunda fase de deformación.

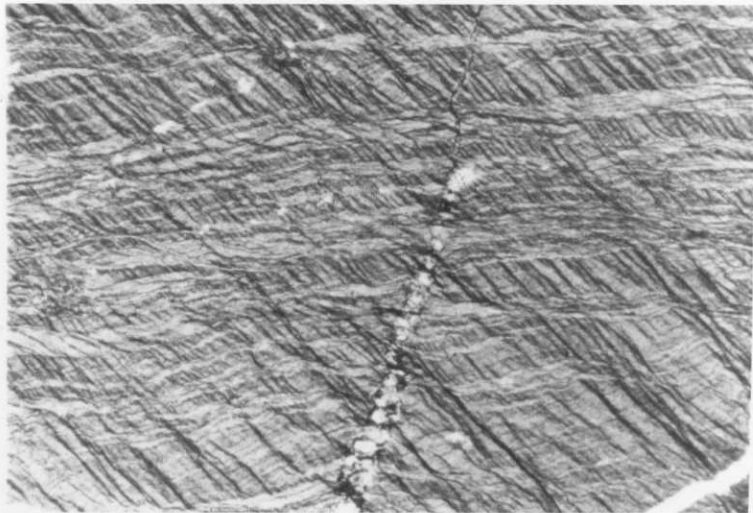


08-38-IG-AS-128

Plegue de eje subhorizontal (recumbente), en pizarras del Carbonífero Inferior (P Hw) en la carretera de Puebla a Paymogo.

A-A

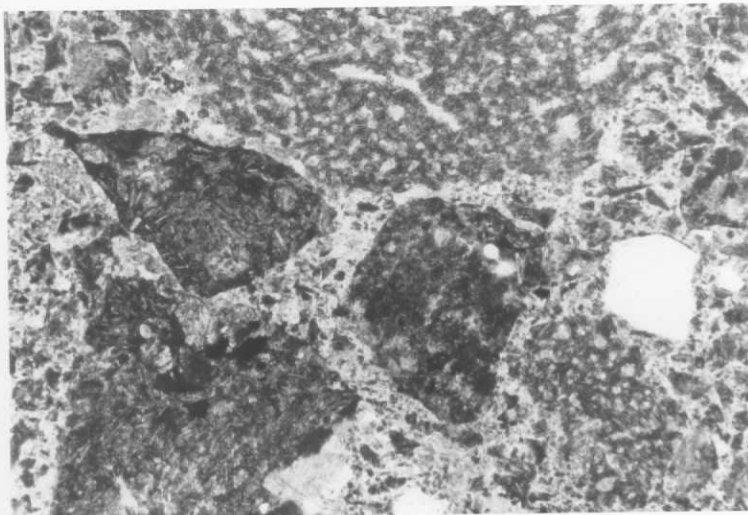
11-12



08-38-IG-FG-170

Pizarra sericítica. La esquistosidad de flujo está crenulada por una segunda fase de deformación, dando lugar a una segunda esquistosidad oblicua a la primera ("strain-slip cleavage").

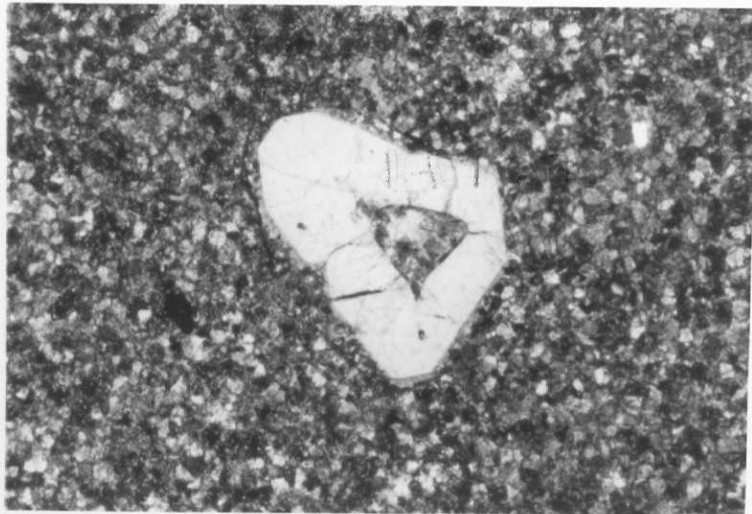
36 aumentos. Nicols paralelos.



08-38-IG-FG-171

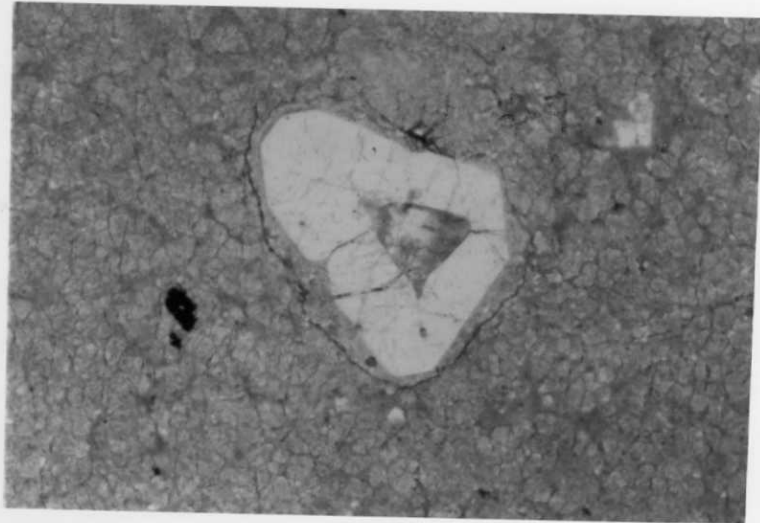
Toba ácida. Fragmentos de roca efusiva y clas-
tos de cuarzo.

36 aumentos. Nicoles X



08-38-IG-FG-172

Fenocristal de cuarzo alotriomorfo con corona -
de reacción en una matriz desvitrificada.
36 aumentos. Nicoles cruzados.



08-38-IG-FG-172

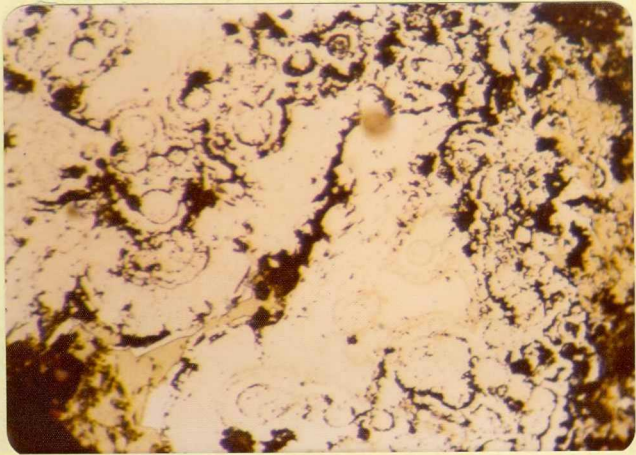
La misma fotografía con nicoles paralelos.



08-38-IG-FG-174

Basalto. Puede observarse la importancia de la mesostasis vitrea, y la presencia de algunos cristales de piroxeno (centro) y de plagioclasa, estos - ultimos alterados (saussurita).

36 aumentos. Nicoles cruzados.

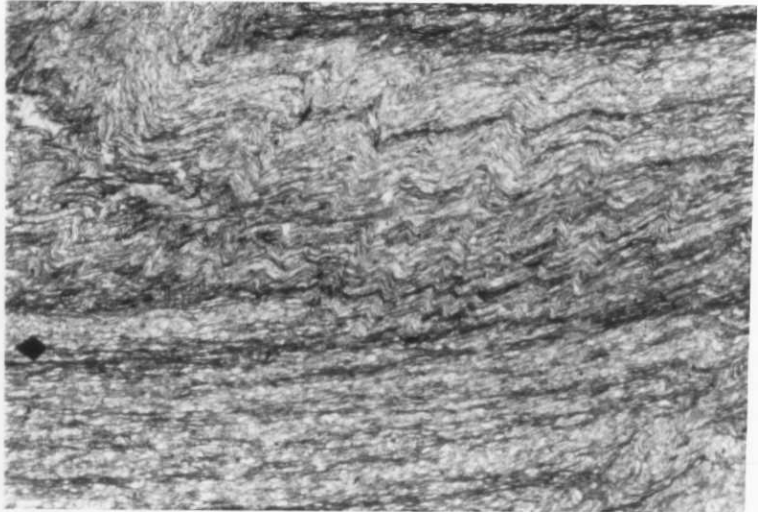


08-38-IG-FG-65-P-2

Mineral de la mina San Antonio.

Pirita con estructura framboidal, y calcopirita
intersticial.

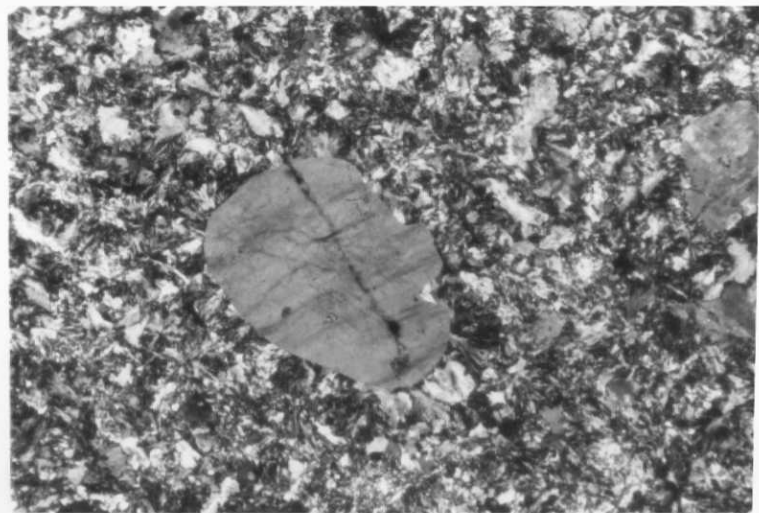
350 aumentos. Nicols paralelos. Inmersión en -
aceite



08-38-IG-AS-80

Filita con fina esquistosidad de flujo, crenulada (Knicks) con incipiente desarrollo de -- "strain slip cleavage". Puede observarse coincidencia entre S_0 y S_1 .

36 aumentos. Nicoles paralelos.



08-38-IG-AS-81

Felsita. Fenocristal de cuarzo, con extinción ondulosa, en una mesostasis felsítica, de cuarzo y albita, originada en un proceso de desvirtificación.

36 aumentos. Nicoles cruzados.